

دراسة بعض الصفات المايکروبیّة للغلاف الدقيق المحضر من الدارسين باستخدام تقنية طبقة بعد طبقة Layer By Layer والمستخدم في تغليف جبن التشدر

ازهار جواد *
شيماء رفعت خيري *
قسم علوم الاغذية / كلية علوم الهندسة الزراعية / جامعة بغداد
dr.azharjawad@yahoo.com

المستخلص

نفذت هذه الدراسة لتقدير تحضير أغلفة دقيقة مكونة من خمس طبقات حضرت بتقنية طبقة فوق طبقة (LBL) عن طريق استعمال محلولين هما الجينات الصوديوم والأخر عامل مضاد للأحياء المجهرية هو مستخلص الدارسين، تم تقدير قطر الهالة على طبق بتري يحتوي على البكتيريا الموجبة *E. coli* و *Bacillus subtilis* أو السالبة لصبغة كرام وهي *Staphylococcus aureus* و *Fusarium* و *Aspergillus niger* و *Pseudomonas aeuroginosa* و *Enterococcus* ssp. والعفنين لتقدیر فعالية المستخلص المضادة للأحياء المجهرية وأوضحت النتائج أن تركيز 0.2% من مستخلص الدارسين قد أظهر فعالية تثبيطية ضد هذه الأحياء المجهرية ، لتحديد صفات الغلاف الدقيق المحضر استخدم المجهر الإلكتروني الماسح في الكشف عن سمك الأغلفة الدقيقة المحضر حيث بلغ سمك الغلاف الكلي المكون من الألجينات والدارسين 22.47 ميكرون، بلغ جهد الزيتا لمحلول الألجينات 28.49- ملي فولت على pH = 7 ولمستخلص الكركم 28.69 ملي فولت، كانت قيم نفاذية بخار الماء WVP لل PET المشحونة 29.091 (g.m⁻².24h) ولـ PET المشحون والمغلف بالألجينات ومستخلص الدارسين، للغلاف النانوي اذ كانت للـ PET المشحونة هي 14.78 (ml/m².day)، ولـ PET المشحون والمغلف بالألجينات ومستخلص الدارسين 17.95 (ml/m².day). صنعت ثلاثة معاملات من جبن التشدر، غلفت المعاملة الأولى بالغلاف الشمع البرافيني (M1)، والثانية غلفت بالغلاف الجيلاتيني (M2) والثالثة غلفت بالغلاف الدقيق المكون من الجينات الصوديوم ومستخلص الدارسين (M3) أشارت النتائج الى ان وجود مستخلص الدارسين في حدد من النمو المايکروبی للمعاملة (M3) مما جعلها متوفقة على معاملتي المقارنة.

الكلمات المفتاحية: طريقة LBL، جبن المونترى، الدارسين، الأغلفة الدقيقة.

*البحث مستقل من أطروحة دكتوراه للباحث الثاني.

STUDY OF SOME MICROBIAL PROPERTIES FOR MICROLAMINATE OF ALGINATE AND CINNAMON IN LBL TECHNIQUE USED IN THE CHEDDAR CHEESE COATING

Azhar Jawad

Shaymaa R. Khairi

University of Baghdad /College of Agriculture/Food Science Dep.
Baghdad

dr.azharjawad@yahoo.com

ABSTRACT

This study was carried out to evaluate the preparation of five-layer microlaminates that were introduced by Layer By Layer (LBL) technique by the use of two solutions, namely, the sodium alginate, and the other antimicrobial

agent is the cinnamon extract. The halo diameter was estimated on a petri dish containing the positive bacteria *Staphylococcus aureus* and *Bacillus subtilis* or negative gram bacteria *E. coli* and *Pseudomonas aeuroginosa*, *Enterococcus ssp.* *Aspergillus niger* and *Fusarium* were used to estimate the effectiveness of antimicrobial extracts. Results showed that 0.2% concentration of cinnamon extract showed inhibitory activity against these microorganisms. The scanning electron microscope was used to detect the thickness of prepared microlaminates . The thickness of the total alginate and cinnamon microlamine was 22.47 micron , The Zeta Potential voltage of the alginate solution reached -28.49 mV at pH = 7 and the cinnamon extract was 28.69 mV, The WVP water permeability values for the micrlayered PET film without any addition to the charged PET (treatment 1) were 29.091 g.m²/24h) and for the micrlayered PET-charged for sodium alginate and Cinnamon extract (treatment 2), OTR was obtained for the micrlayered with no addition of the charged PET (treatment 1), 14.78 ml / m².day), and for the PET-charged, covered with sodium alginate and cinnamon extract (treatment 2) 17.95 ml /m².day.Three treatments were made of Monterey cheese, the first treatment was covered with the paraffin wax as control M1, the second was covered with gelatin (M2) and the third was coated with a micrlayered film consisting of the sodium alginate and the cinnamonextract (M3). The results indicated that the presence of the cinnamon extract was determined by the microbiological growth of the treatment (M3), which made it superior to the comparison treatments.

Key words: LBL method, Microlaminate, Cinnamon, Monterey cheese.

المقدمة

تعد تقنية طبقة فوق طبقة (Layer By Layer - LBL) والتي تتتألف من طبقات متجمعة ذاتياً الكتروستاتيكياً على سطح المادة هي التقنية المستخدمة في تصنيع الأغلفة النانوية والマイكروية، وقد طبقت في حقول متنوعة مثل الطب الحيوي وفي تصنيع الأغذية، أشار Bertuzzi و Salvutsky (2017) إلى ان الغلاف الدقيق يتكون من اثنين أو أكثر من الطبقات من مواد ذات ابعاد نانوية او مايكروية ومرتبطة مع بعضها بأوامر بشكل كيميائي أو فيزيائي والتي تحسن من خواص حجز الماء للنشا الذي يدخل في صناعة الأغلفة القابلة للأكل لحماية الغذاء ضد التلف المايكروبي مع مراعاة تأثير خواص الغلاف الوظيفية بالمحتوى المائي اقترحت تقنية طبقة فوق طبقة (Layer By Layer- LBL) كطريقة مناسبة للحصول على غلاف دقيق مكون من بوليمرات طبيعية صالح للإستهلاك ويستعمل في تغليف الأغذية والذي يجب ان يكون مشحونا الكتروستاتيكياً مع الخواص الوظيفية المهمة مثل المضادات الحيوية والممانعة للتآكسد وخواص حمل الغاز الوظيفية Carneiro-da-Cunha وآخرون (2010). تم اختبار استعمال الغلاف الدقيقة لتغليف الأغذية على الفواكه Medrios وآخرون (2012) ولم يستعمل ابداً على الجبن المنضج الذي بعد منتجًا غذائياً معقداً يتكون بصورة رئيسة من الماء والكافيين والدهن فضلاً عن انه منتوج واسع الإستهلاك. ان نمو الأحياء المجهرية على سطح الغذاء هو السبب الرئيسي لتلف وفساد الأغذية وإجل اطالة مدة حزن وحفظ

الغذاء والحفظ على جودته يتم طلاء الغذاء بالعوامل التثبيطية او يتم دمج المثبتات في مواد التعبئة والتغليف وهذا مايسمى بالتغليف المضاد للأحياء المجهرية وهو احد فروع التغليف الفعال وهو وسيلة مبتكرة يرتكز مفهومها حول تثبيط نمو الأحياء المجهرية الناتجة من العوامل البيئية المحيطة بالغذاء واحدة من السكريات الأكثر استخداما في البناء متعدد الطبقات هو الألجينات، وهو بولимер جيد نال العديد من التطبيقات بسبب توافقه مع الحياة، وقابلية التحلل البيولوجي وغير سام كما انه يؤدي إلى تشكيل طبقات متعددة بفضلً عن انه يمكن استخدام تقنية LBL لتغليف المواد المختلفة (ماء، المحبة للماء أو محبة للدهون) داخل الأغلفة النانوية عن طريق دمجها، كما في دمج عوامل وظيفية نشطة مثل مضادات الميكروبات، مضادات الإسمار الإنزيمي، مضادات الأكسدة، الإنزيمات، النكهات والألوان في الأغلفة. وهذه الأخيرة ستزيد من العمر الافتراضي ونوعية الأغذية المغلفة للمنتجات بينت البحوث المتعلقة بدراسة محتوى القرفة (الدارسين) من المكونات الكيميائية الفعالة على احتواها عدة انواع من المركبات الفينولية و الفلافونويدية و البروتوسانيدين، ففي دراسة قام بها Shan وآخرون (2007) للكشف عن فعالية البروتوسانيدين المستخلص من القرفة ضد الاحياء المجهرية ، تبين ان قيم اقل تركيز مثبط (MIC) Minimum concentration MBC أقل تركيز قاتل للبكتيريا (MBC) لـ *L.monocytogens* و *B.cereus* بينما كانت قيم MIC عالية تجاه بكتيريا *S.aureus* و *E.coli* و *S.anatum* . يهدف البحث الى دراسة بعض الصفات المايکروبية للغلاف الدقيق المحضر من الدارسين باستخدام تقنية طبقة بعد طبقة Layer By Layer والمستخدم في تغليف جبن التشدر.

المواد وطرق العمل

PET: تم الحصول على (PET) Poly Ethylene Terephthalate من شركة Sigma Aldrich الألمانية ذو سمك 0.005 ملمتر اذ عد كغضاء داعم لصب محليل الغلاف عليه عند دراسة صفاتها.

تحضير المستخلص النباتي الفلافونيدي للدارسين: اجريت عملية الاستخلاص تبعاً لطريقة Harbone (1973) والمحورة من الكوري (2000).

محاليل الغلاف المستعملة في تغليف الجبن: حضرت محلاليل الغلاف المستعملة في تغليف الجبن حسب الطريقة الموصوفة من قبل Carneiro-da-Cunha وآخرون (2010) والمحورة من قبلنا وشملت :

محلول الجينات الصوديوم Sodium Alginate: حضر بتركيز 0.2 % (وزن/حجم) باذابة الجينات الصوديوم (مجهزة من شركة Hi Media Lab. الهندية لصناعة المواد الكيميائية) في ماء مقطر وباستعمال مازج مغناطيسي بسرعة 200 دورة/ دقيقة لمدة ساعتين بدرجة حرارة 70°C ، ثم على درجة حرارة 20°C لمدة 22 ساعة ، عدل pH لمحلول الألجينات الى 7 بإستعمال محلول NaOH (1 مولار) وأجري له عملية تكسير بجهاز المجنس ذو الأمواج فوق الصوتية Ultra Sonic Homogenizer وبواقع 80 نبذة لمدة 4 دقائق وحفظ في الثلاجة لحين الاستعمال .

محلول مستخلص الدارسين: حضر مستخلص الدارسين (حصل عليه من الاسواق المحلية لمدينة بغداد) بتركيز 0.2 % (وزن/حجم) باذابة مسحوق الدارسين في ماء مقطر وباستعمال مازج مغناطيسي بسرعة 200 دورة/ دقيقة لمدة ساعتين على 20°C وعدل pH للمستخلص الى 3.8 بإستعمال حامض اللاكتيك (1 مولار) وأجري له عملية تكسير بجهاز المجنس ذو الأمواج فوق الصوتية Ultra Sonic Homogenizer وبواقع 80 نبذة لمدة 4 دقائق وحفظ في الثلاجة لحين الاستعمال .

محلول الغلاف الجيلاتيني: حضر محلول الغلاف الجيلاتيني بتركيز 10% تبعاً للطريقة التي ذكرتها الجنابي (2008) بوزن 10 غم من مسحوق الجيلاتين البكري وإذابتها في حوالي 70-80 غم من الماء المقطر مع التحريك المستمر والت BXHin في درجة حرارة 60-65 °C باستخدام جهاز المحرك المغناطيسي ذي الصفيحة الساخنة ولمدة 15 دقيقة، ثم أضيفت المادة الملحنة السوربيتول بنسبة 30% من وزن الجيلاتيني الجاف وإكمال الحجم إلى 100 مل بالماء المقطر وعدل (PH) إلى 7 باستعمال محلول هيدروكسيد الصوديوم (1 مolar) ثم ترك محلول ليبرد وحفظ في الثلاجة لحين الاستعمال.

قياس فعالية المستخلص الفلافونيدي للدارسين المضاد للبكتيريا : استعملت طريقة الإنتشار بالأكار بوساطة الحفر The agar well diffusion method حسب ماجاء بطريقة Hammer وآخرون (2003) وتضمنت الطريقة عمل خمسة حفر بقطر 6 ملم بواسطة ثاقب فليني Cork porer وبأبعاد متساوية لكل نوع من البكتيريا، ثم نشر 0.1 مل من العالق البكتيري بماسح قطني Cotton Swap بصورة متجانسة على وسط Muller Hinton agar بعد مقارنتها مع أنبوبة ماكفرلاند القياسي المحضر بمزج 0.5 مل من كلوريد الباريوم 1% (المحضر من إذابة 1.175 غرام من كلوريد الباريوم في 100 مل من الماء المقطر) مع 9.5 مل من حامض الكبريتيك 1% (المحضر من مزج 1 مل من حامض الكبريتيك المركز في 100 مل من الماء المقطر) وحفظ في أنبوبة زجاجية ذات غطاء محكم وحفظت في الظلام لحين الاستعمال في معايرة عدد الخلايا البكتيرية و المساوي لتركيز 1.5×10^8 (Baron ، Finegold ، 1994) ، ثم أضيفت التراكيز المحضرة من المستخلص في الحفر بمقدار 0.1 مل بالماصة الدقيقة Micropipette لكل حفرة مع بقاء حفرة السيطرة حاوية على الماء المقطر المعقم ، ثم حضنت الأطباق في الحاضنة على درجة 37 °C لمدة 24 ساعة ، وأمكن معرفة فعالية المستخلص عند قياس قطر التثبيط بوساطة الهالة حول كل حفرة ، بواقع 3 فراءات لكل عزلة.

تحضير الغلاف : حضر الغلاف لغرض توصيفه على مرحلتين شملت المرحلة الأولى شحن غلاف البوليمر (PET) اذ عد كغشاء داعم لاصب محاليل الغلاف عليه عند دراسة صفاتها، واجريت الطريقة كما وصفها Fu وآخرون (2005) اذ نظفت قطع PET بمحلول (ايثانول : ماء) (1:1) لمدة 3 ساعات بعدها شطفت بالماء المقطر وجففت على 30 °C لمدة 24 ساعة، ومن ثم غمر الغلاف بـ 0.06 غ من hexandiamine/Propanol على درجة 37 °C لمدة 4 ساعات وبعد انتهاء المدة المحددة غسل بالماء المقطر للتخلص من المادة السابقة الذكر وجفف على 37 °C لمدة 24 ساعة، عمليات الغلاف المشحونة بـ 0.1 مolar من HCl لمدة 3 ساعات على درجة حرارة الغرفة وغسلت بكمية كبيرة من الماء المقطر وجففت على 30 °C لمدة 24 ساعة ، أما المرحلة الثانية فشملت عملية طلاء لغلاف PET اذ قطعت الى اشكال مستطيلة ذات بعد (1×1) سم وغطست في محلول الألجينات لمدة 15 دقيقة بعدها شطفت بالماء الحالي من الأيونات ذو pH 7 والمشابه لأس الهيدروجيني لمحلول الألجينات وتركت لحين الجفاف ثم غطست بمحلول الدارسين ولمدة 15 دقيقة بعدها شطفت بالماء المحمض بحامض اللاكتيك ذو pH 3.8 والمشابه لأس الهيدروجيني للمستخلصات الفلافونيدية. كررت العملية خمس مرات لتكوين خمس طبقات بالتناوب (الجينات - مستخلص- الجينات- مستخلص- الجينات) على درجة حرارة 20 °C ورطوبة نسبية 50% .

توصيف الغلاف

تحويل فوريير الأشعة تحت الحمراء(FTIR): اجري فیاس FTIR في مدى اطوال موجية 650-4000 سـ⁻¹ لفحص المجاميع الفعالة لسطح قطع PET المشحونة وغير المشحونة من محاليل المستخلصات النباتية الكركم ، والدارسين واكليل الجبل ووضعت على عدسة الجهاز الحساسة في درجة حرارة الغرفة .

جهد الزيتا Zeta Potential : تم حساب جهد الزيتا لمحاليل الألجينات والمستخلص النباتي للدارسين واكليل في مركز بحوث النانوتكنولوجيا في الجامعة التكنولوجية وذلك عن طريق تفكك الضوء الديناميكي بمحلل الزيتا باستخدام جهاز Micr book Zeta plus zeta potential analyzer واجريت التحاليل في درجة حرارة الغرفة 25°C، كررت القياسات للعينات ثلاثة مرات (Bajelan *et al.*, 2012).

قياس طيف الأشعه فوق البنفسجية المرئي (UV-visible spectrometer): تم قياس امتصاصية طيف الأشعه فوق البنفسجية المرئي باستخدام جهاز المطياف الضوئي واستعمل للغلاف المتعددة المحضرة وقيس امتصاصية في طول موجي 260 نانومتر (Sinkowska , 2006). تم قياس 3 قراءات لكل عينة.

قياس معدل نفاذية بخار الماء (WVP): اجري قياس معدل نفاذية بخار الماء للغلاف باستخدام جهاز (WVTR) حسب التصنيف الامريكي ASTM-E96 (2010) في مقر هيئة البحث والتطوير الصناعي /المركز الوطني للتعبئة والتغليف الذي يعتمد اسلوبه على وضع العينة افقيا في حجرة بداخلها ماء مقطر يصل الى (1 سم³) مع استمرار تدفق الهواء عبر الجانب العلوي للغلاف، في حين يتعرض الجانب السفلي فيه لبخار الماء وتوزن الحجرة كل ساعة للحصول على شكل يبين فقدان الوزن مقابل الوقت كما في الشكل (3-2)، يستخدم لحساب (WVTR) معدل (4-5) قراءات لقياس معدل نفاذية بخار الماء والتي حسبت على وفق المعادلة:

$$WVTR = \frac{\Delta W}{A \cdot t}$$

اذ:

ΔW التغير في وزن العينة (gm) A = مساحة العينة (cm^{-2}) t = وقت وضع العينة (Sec.).

قياس معدل نفاذية انتقال الاوكسجين (OTR) : جرى الفحص للكشف عن معدل نفاذية الاوكسجين للغلاف باستخدام جهاز OTR في مقر هيئة البحث والتطوير الصناعي /المركز الوطني للتعبئة والتغليف شكل (3-3) الذي يعتمد اسلوبه على امرار غاز النتروجين على العينة لإزالة الاوكسجين من حجرات الفحص وعلى جانبي العينة ، ثم يستبدل النتروجين على جانب واحد بالاوكسجين مع استمرار تدفق النيتروجين على الجانب الآخر ثم تفاصي كمية الاوكسجين التي تتفقد من خلال العينة باستخدام الكاشف بعد الانتهاء من وضع العينة لمدة (30) ساعة يتم تحديد نفاذية الاوكسجين للعينات المفحوصة في درجة حرارة ثابتة (23°C) ورطوبة نسبية (50%) ويقاس معدل نفاذية الاوكسجين حسب التصنيف الامريكي-ASTM-D-3985-02 (2002).

$$ORT = \frac{V}{A \cdot t}$$

اذ ان :

V = حجم العينة (cm^{-3}). A = مساحة العينة (cm^{-2}). t = وقت وضع العينة (Sec.).

المجهر الإلكتروني الماسح (SEM) : تم فحص الغلاف المحضر قيد الدراسة على سطح PET المشحون المكون من 5 طبقات فضلاً عن سطح PET غير المشحون باستخدام المجهر الإلكتروني الماسح في مركز بحوث النانوتكنولوجيا في الجامعة التكنولوجية.

تصنيع جبن التشرد : صنع جبن التشرد بحسب الطريقة الموصوفة من الدهان (1983).

تغليف الجبن: اتبعت طريقة التغطيس Dipping لتجفيف الجبن وعلى النحو الآتي:- لتحضير المعاملة T3 تم غسل قطع الجبن (وزن القطعة 75 غم) بالماء المقطر وتركت لتجف خلال 20 دقيقة بدرجة حرارة 25°C، غمرت بعدها في محلول الجينات الصوديوم المحضر مسيقاً لمدة 15 دقيقة وتركت لتجف خلال 20 دقيقة ، غسلت بالماء المقطر ذو pH = 7 وهو نفس محلول الجينات الصوديوم، بعدها غمرت بمستخلص الدارسين ذو pH = 3.8 كررت العملية مع محلول الجينات الصوديوم ومستخلص الدارسين وفي الظروف السابقة نفسها لإعداد المعاملة T3 المغلفة بغلاف يتألف من خمس طبقات هي الجينات- دارسين - الجينات- دارسين - الجينات، كماً تم إعداد معمالت مقارنة T1، T2 ، المعاملة T1 استعملت في تغليفها شمع البارافين المجهز إلى الشركة العامة لمنتوجات الألبان- أبي غريب - بغداد أذ تم تغطيس قطع الجبن في محلول الشمع الذائب المنصهر في درجة 118°C لمدة 5 ثواني ثم أخرجت لتجف، أما المعاملة T2 فقد تم تغليفها بالغلاف الجيلاتيني أذ بعد تجفيف قطع الجبن غمرت بمحلول الجيلاتين مع التقليب بين مدة و أخرى ، بعد إكمال عملية التغليف للمعاملات وضعت النماذج بعد وزنها في علب بلاستيكية معقمة محكمة الغلق وحفظت في الثلاجة وبدرجة حرارة 10°C لمدة 6 أشهر لغرض إجراء الفحوص الكيميائية والميكروبية والحسية اللازمة عليها.

فحوصات الميكروبولوجية:

لإجراء الفحوصات الميكروبية استعملت الطريقة المذكورة في APHA (1978) وذلك باستخدام طريقة الصب Pour plate ، لتقدير العدد الكلي للأحياء المجهرية Total plate count ، وعدد بكتيريا القولون Total coliform ، وعدد الأعغان Molds ، ولتقدير عدد العنقوديات الذهبية *Staphylococcus aureus* استخدمت الطريقة المذكورة في Blatimore Biological Laboratory (BBL) (1973) واستخدمت الطريقة المذكورة في Harrigan and McCence (1976) لتقدير عدد البكتيريا المحللة للبروتين Lipolytic bacteria ، وعند تقدير عدد البكتيريا المحللة للدهون Harrigan and McCence (1976) وقدر عدد البكتيريا المحبة للبرودة Psychrophilic bacteria استخدمت الطريقة المذكورة في APHA (1978).

التحليل الاحصائي: استعمل البرنامج الإحصائي SAS- Statistical Analysis System (2012) في تحليل البيانات لدراسة تأثير العوامل المختلفة في الصفات المدروسة وفق تصميم عشوائي كامل (CRD) ان كان باتجاه واحد او باتجاهين، وقورنت الفروق المعنوية بين المتosteats باختبار اقل فرق معنوي (Least Significant Difference-LSD) وعلى مستوى احتمالية 0.05 .

النتائج والمناقشة

دراسة فعالية مستخلص الدارسين المضاد للأحياء المجهرية : درس تأثير اضافة مستخلص الدارسين بتركيز 0.2 % (وزن/حجم) بعد اضافته للجينات المستخدمة في تحضير الغلاف الميكروني متعددة الطبقات في تثبيط نمو نوعين من البكتيريا الموجبة لصبغة كرام تمثلت بكل من بكتيريا *Staphylococcus aureus* والبكتيريا السالبة لصبغة كرام *E. coli* و *Bacillus subtilis* ; *Pseudomonas aeruginosa* و *Enterococcus aerogenes* ssp ، تم الحصول عليها من كلية العلوم للبنات/ جامعة بغداد ، يبين الجدول (1) تأثير مستخلص الدارسين في تثبيط البكتيريا ، اذ لوحظ انه ثبط البكتيريا السالبة لصبغة كرام ، اذ كان معدل قطر هالة التثبيط 15 و 28 ملم لكل من بكتيريا *E. coli* و *Enterococcus aerogenes* على التوالي، وبلغ قطر هالة التثبيط لبكتيريا *Staphylococcus aureus* 25 ملم ولبكتيريا *Bacillus subtilis* 9 ملم ولبكتيريا *Pseudomonas aeruginosa* 13 ملم، ويرجع السبب في ذلك الى احتواء الدارسين (القرفة) على العديد من المركبات الكيميائية الفعالة مثل المركبات الفينولية والفلافونيدية والبروتوسينيدين والتي

جعلها فعالة ضد الأحياء المجهرية وهذا يوافق ما توصل اليه Shan وآخرون (2007) عن الفعالية التثبيطية للبرواثوسينيدين المستخلص من نبات الدارسين تجاه كل من بكتيريا *Staphylococcus aureus* و *E. coli* و *Bacillus* إذ تميز بأعلى تحسس تجاه بكتيريا *Staphylococcus aureus* والذي أظهر أعلى قطر هالة تثبيط 20.8 ملم وكانت عالية تجاه بكتيريا *E. coli* ومنخفضة تجاه بكتيريا *Bacillus*.

جدول 1. تأثير مستخلص الدارسين في تثبيط بعض انواع البكتيريا الموجبة والسلبية لصبغة كرام عن طريق قياس قطر الاهالات المتكونة (ملم)

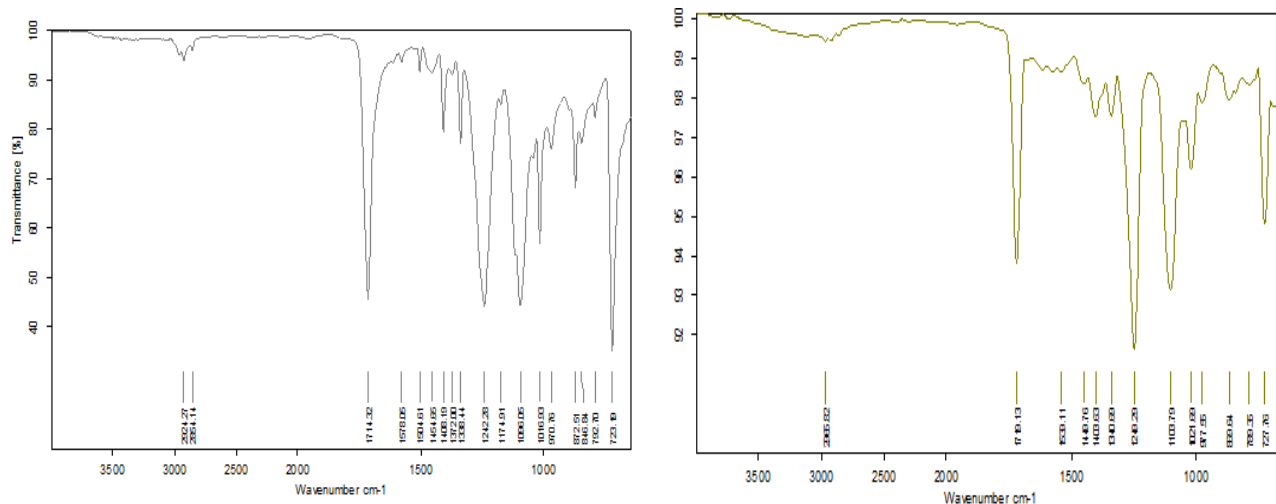
قيمة LSD	<i>B. subtilis</i>	<i>S. aureus</i>	<i>Ps. aeuroginosa</i>	<i>Ent. Ssp</i>	<i>E. coli</i>
* 6.07	9	25	13	28	15

* أقل فرق معنوي على مستوى احتمال $P > 0.05$

وبناء على ما تقدم استخدم تركيز 0.2% من المستخلص النباتي في تحضير غلاف مایكروني بدمجه مع الاجينات وبنفس التركيز واستخدامه في تغليف جبن التشدر لغرض دراسة أثر ذلك في الحد من نمو البكتيريا الموجبة لصبغة كرام والسلبية لصبغة كرام .

دراسة الخواص الفيزيائية للغلاف والمحاليل البولي الألكترونية للغلاف

تحليل طيف الأشعة تحت الحمراء FTIR: استعمل قياس الأشعة تحت الحمراء FTIR للتأكد من وجود المجاميع الفعالة على سطح PET ، اذ يوضح الشكل 1 طيف FTIR لغشاء PET الداعم المسلحون فقط وبدون اضافة، وذلك من خلال وجود قمم موجتها على 1719 و 1249 سم⁻¹ و 1103 والتي لها علاقة بمجاميع الكاربوكسيل الحلقة، اما القمة التي موقعها 727 سم⁻¹ فتعود الى الاصرة (C-H) الاروماتية (Fu) وآخرون ، 2005 و Mederois 2012). اما الشكل 2 فيظهر نتائج تحليل FTIR لمستخلص الدارسين اذ يلاحظ ظهور الاتساع في 1096 سم⁻¹ الناتجة من الامتطاط المميز لـ C-O-C ، مع وجود قمتين موقعها على 1715 ، 1244 سم⁻¹ ، وقمة موقعها 723 سم⁻¹ ، تعد هذه النتائج مطابقة لما ذكره Alhamd (2015) إذ ذكر بأن حزمة IR على 1666.7 سم⁻¹ تعود إلى مجموعة C=O O-H والحرمة على 1000 سم⁻¹ تعود إلى C-OH أما الحرمة على 1600 سم⁻¹ فتعود إلى مجموعة C=O والحرمة على 1580 سم⁻¹ تعود إلى مجموعة amide.



شكل 2. تحليل طيف الأشعة تحت الحمراء FTIR لغلاف PET المشحون

شكل 1. تحليل طيف الأشعة تحت الحمراء FTIR لغلاف PET المشحون

والغلاف بالالجينات والدارسين

تقدير جهد الزيتا Zeta Potential : لدراسة الخواص الألكتروستاتيكية لمحاليل الألجينات والمستخلص النباتي تم حساب جهد الزيتا والذي اجري اعتماداً على مقارنته مع سطح PET الداعم اذ بلغ جهد الزيتا لمحلول الألجينات $28.49 \text{ مل} \text{ pH} = 7$ ملي فولت وعلى $28.69 \text{ مل} \text{ pH} = 7$ ملي فولت، وتعود قيمة جهد الزيتا السالب من خلال مجاميع الكاربوكسيل الحررة (COOH) الداخلة في تركيبها على $\text{pH} = 7$ وتعتمد السطوح المحبة للماء على طبيعة الطبقة الخارجية وليس على غلاف المادة الأساس وعادة فان الترسيب للطبقات يسبب بعض التأثير على بعض الخواص الفيزيائية فضلاً عن التغيرات في pH يمكن أن تؤثر معنوياً على صفات السطح المحبة للماء وهذه التغيرات يمكن بدورها أن تؤثر على تركيب الغشاء نفسه ومثلاً على ذلك فإن الألجينات المحضرة بقيمة $\text{pH} = 7$ كانت ذات شحنة ضعيفة مقارنة مع تلك التي حضرت بقيمة $\text{pH} = 4.10$ وهذا يعود الى اسطح الألجينات الناعمة (Wasikiewicz 2005) وأخرون، وجاءت هذه النتائج متماشية من حيث الشحنة مع ما وجد Carneiro-da-Cunha (2010)، اذ كانت قيم جهد الزيتا $-62.13 \pm 4.10 \text{ ملي فولت}$ لمحلول الجينات الصوديوم على $\text{pH} = 7$ و $-58.28 \pm 4.18 \text{ ملي فولت}$ لمحلول الكايتوسان على $\text{pH} = 3.8$ والتي أظهرت أنه يمكن ان تتدخل مع القوى الألكتروستاتيكية وللايسوزايم كانت $-29.27 \pm 3.18 \text{ ملي فولت}$ على $\text{pH} = 3.8$ بوجود مجاميع الأمين وكذلك مع ما وجد Medeiros وأخرون (2012) اذ كانت قيم جهد الزيتا للألجينات -62.13 ملي فولت على $\text{pH} = 7$ وللايسوزايم على $-25.67 \pm 2.27 \text{ ملي فولت}$ على $\text{pH} = 3.8$. امتصاص.

امتصاص UV-Vis: لمتابعة تجمع طبقات الغلاف المصنوع والمكون من الألجينات مع الدارسين على سطح PET الداعم المشحون اجري فحص تحليل المطياف الضوئي على طول موجي 260 نانومتر بعد كل ترسيب، اذ عندما تزداد قيمة الامتصاص بترسب الطبقات طبقة بعد الاخرى فان هذا يؤكّد الترسيب الناجح للطبقات المتعددة، كما يوضح الشكل 3 الامتصاصية الضوئية على الطول الموجي 260 نانومتر للغلاف متعددة الطبقات والمؤلفة من الألجينات مع مستخلص الدارسين ، اذ يظهر فيها الزيادة الحاصلة في الامتصاصية مع ترسب الطبقات الخمسة المؤلفة لكل غلاف، مما يؤكّد الترسيب الناجح لهذه الغلاف المايكروني المصنوعة والذي يسمح في توصيف وتشخيص أكثر لهذه المواد، تتماشى هذه النتائج مع ما توصل له Carneiro-da-Cunha وأخرون (2010) والذين وجدوا ايضاً زيادة ملحوظة في قيم الامتصاص

يتربس خمس طبقات من الألجينات والكابتوسان على سطح PET المشحون الداعم وأكدت الصور بجهاز SEM بناء الغلاف على سطح PET المشحون ، كذلك ذكر Wang (2007) ان زيادة عدد طبقات الغلاف سبب زيادة ملحوظة في قيم الامتصاص الضوئي.

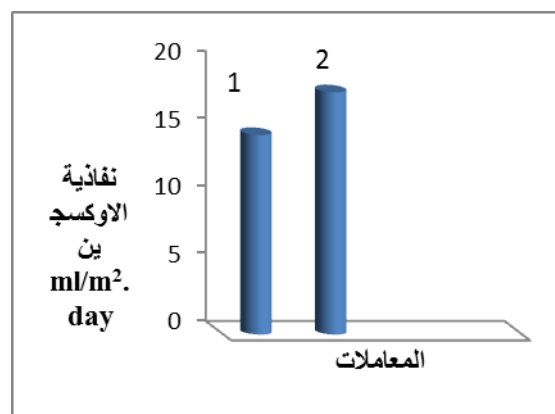


شكل 4. نفاذية بخار الماء للغلاف

الميكروني للدارسين (g / m².24h)*

شكل 3. الامتصاص الطيفي للأشعة فوق البنفسجية

المرئية لمحلول الدارسين*.



شكل 5. نفاذية الاوكسجين للغلاف المايكروني للدارسين (ml/m².day)*.

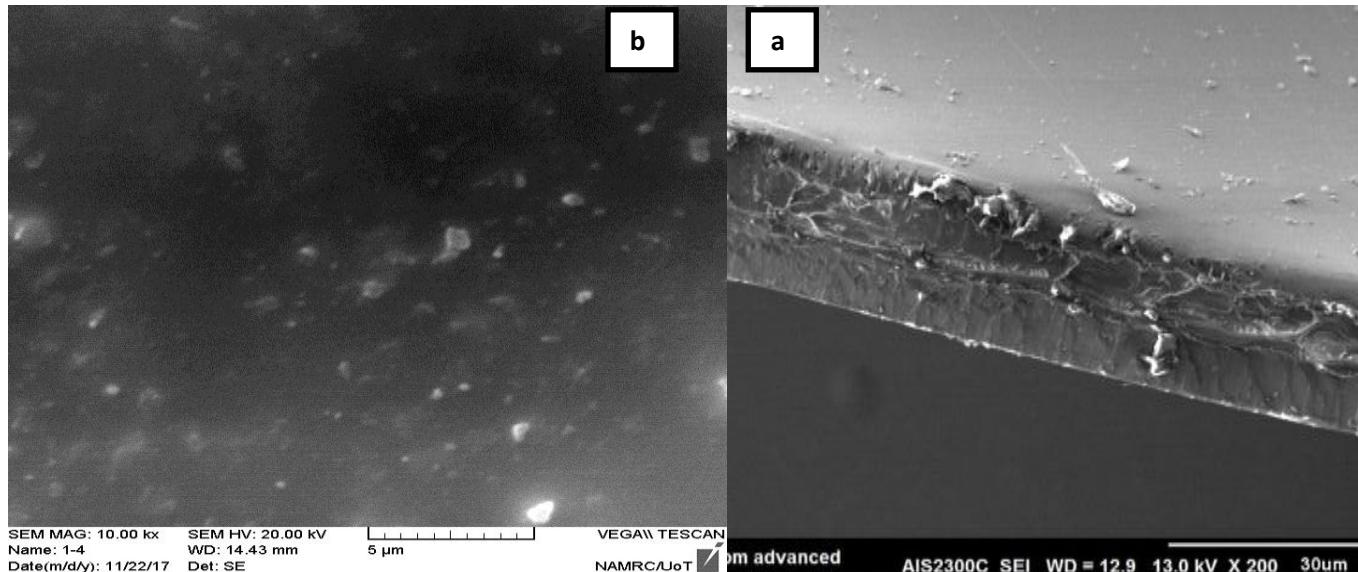
*المعاملة 1 = PET المشحون فقط المعاملة 2 = PET المشحون والمغلف بالألجينات ومستخلص الدارسين

نفاذية بخار الماء WVTR : إن أهم ما يميز الغلاف من حيث صفاتها الحجزية Barrier properties هو قابليتها على احتجاج الماء أو بخاره وقدرتها على منع نفاذ الغازات مثل ثاني أوكسيد الكاربون والأوكسجين من والى الغذاء لما لذلك من تأثير في نوعية وسلامة الغذاء وقابلية حفظه وزيادة عمره الخزني (Anker وآخرون، 2000) ، تشير نتائج الشكل 4 وفيها قيم WVP إلى ان نفاذية بخار الماء لل PET المشحونة فقط (المعاملة 1) هي 29.091 (g.m²/24h) ولـ PET المشحون والمغلف بالألجينات ومستخلص الدارسين (المعاملة 2) 29.091 (g.m²/24h)، تعد هذه النتائج جيدة للغلاف المتعدد الطبقات والتي يمكن ان يعتمد على التداخل الذاتي والذي يكون بين الألجينات وطبقات محاليل العوامل المضادة لنمو الأحياء المجهرية وظهرت نتيجة (المعاملة 2) وهي لـ PET المشحون والمغلف بالألجينات ومستخلص الدارسين مطابقة للمعاملة (1) وهي لـ PET المشحونة فقط وهذا يشير الى ان هذا الغلاف الحاوي على مستخلص الدارسين ذو قيمة حجز جيدة جدا وذلك بسبب التركيب الكيميائي له ومن ملاحظة نتائج FTIR للغلاف الأصلي PET المشحون فقط أنه يحتوي على مجموعة هيدروكسيل واحدة هي في 2965 سم⁻¹ وكذ

الحال للمعاملة 2 التي تبين انها تحتوي أيضاً على مجموعة هيدروكسيل واحدة في 2965 سم⁻¹ مما يدل على انها مقاربة من حيث التركيب مع معاملة المقارنة مما يدل على مكونات الغلاف التي لا تسمح ب النفاذ جزيئات بخار الماء .

معدل انتقال الأوكسجين OTR: تم الحصول على قيمة OTR للغلاف المايكروني المصنوع كما في الشكل 5 اذ كانت لـ PET المشحونة (المعاملة 1) هي 14.78 (ml/m².day) ولـ PET المشحون والمغلف بالاجينات ومستخلص الدارسين (المعاملة 2) هي 17.95 (ml/m².day) وان نتائج المعاملتين كانتا ذات نتائج مقاربة، بسبب طبيعة التركيب الكيميائي للدارسين مما يجز كمية الأوكسجين التي تنفذ الى داخل الغشاء كون الأوكسجين هو المسبب الأول لتلف الأغذية مما يساعد على حفظها وزيادة العمر الإفتراضي للأغذية .

المسح الإلكتروني المايكروسكوبـي SEM : يظهر الشكل 6 صور المسح الإلكتروني المايكروسكوبـي (SEM) لأطيااف مختلفة من الغلاف المايكروني متعدد الطبقات المترسبة على سطح PET المشحون بطريقة (Layer By Layer -LBL)، اذ كان الغلاف الأول مكون من خمس طبقات هي الجينات الصوديوم والدارسين بالتناوب، اذ يلاحظ ان طبقة الاجينات والتي تمثل الطبقة السطحية العلوية كانت ناعمة وبلورية كما هو مبين في الاشكال (a و b)، كذلك يلاحظ من الشكل نفسه ظهور طبقات متعددة وب أحجام مختلفة لهذه الغلاف ففي الغلاف الأول أظهر الشكل ان سمك الطبقات الكلية للغلاف المكون من الاجينات والدارسين كانت 22.47 ميكرون، تتفق النتائج مع ما وجد Hui Li وأخرون (2017) عند استعمالهم لورق السليلوز المحضر المضاد للبكتيريا باستخدام طبقة فوق طبقة في تلميع لحم البقر المطبوخ والحفاظ على درجة الحرارة المحيطة به وأمكن ملاحظة أن الورقة الأصلية التي تتكون من ألياف السليلوز لها سطح أكثر مرونة ومسامية ومع ما وجده Wu Farnood (2014) عند تعزيز هما للشبكة المكونة من الألياف السليلوزية مع الطبقات المكونة من كاربوкси مثيل سيليلوز / الكايتوسان بطريقة طبقة فوق طبقة Layer By Layer



شكل 6. صور المجهر الإلكتروني الماسح (SEM) لنماذج PET المشحونة والمغلفة بالاجينات والمستخلص النباتي الدارسين (a - صورة لطبقات الغلاف المايكروني المكون من الاجينات والدارسين و b - للسطح)

الفحوص المايکروبایولوجیة

يظهر من الجدول 2 انخفاض في الاعداد الكلية للاحيا المجهرية في معاملات جبن التشرد المغلفة بالعوامل المضادة لنمو الاحياء المجهرية بعد مدة الخزن البالغة 6 أشهر. ومن قراءة هذه النتائج الموضحة نستنتج أن أعداد البكتيريا الكلية في المعاملة T3 قد انخفضت بما يعادل دورتين لوغارitmية تقريباً و.م.م/غم مقارنة مع معاملتي المقارنة للجبن المغلف بالشمع البرافيني والمغلف بالغلاف الجيلاتيني، وعند متابعة اعداد بكتيريا القولون السالبة لصبغة كرام، أظهرت النتائج خلو المعاملات التي استخدمت فيها الغلاف الحاوية على العوامل المضادة للاحيا المجهرية من هذه البكتيريا ، في حين كانت اعدادها 1.21×10^2 و 9.92×10^1 و.م.م/غم في المعاملات T1 و T2 على التوالي عند عمر 6 أشهر. إن سبب انخفاض الاعداد الكلية للبكتيريا وأعداد بكتيريا القولون قد يعود إلى التأثير المشترك لكل من العوامل المضادة للاحيا المجهرية من جهة عملية التغليف بالغلاف من جهة أخرى سواء بتأثيرها كعامل مضاد للاحيا المجهرية تجاه البكتيريا الموجبة لصبغة كرام أو التأثير المشترك ضد البكتيريا السالبة لصبغة كرام. وقد يعود سبب ارتفاع مستوى التلوث في المعاملة (T1) إلى حدوث تشققات في الغلاف الشمعي علاوة على عدم احتواء هذه المعاملة على العوامل المضادة للاحيا المجهرية اذ إن عملية التغليف وحدها تسهم في منع التكاثر للاحيا الهوائية عن طريق منع دخول الأوكسجين الذي يعتبر أساسياً لنمو الاحياء الهوائية مما ادى إلى تقليل اعدادها أو إطالة طور التألف لها (Lag phase) وبالتالي خفض معدلات نمو البكتيريا، كما إن للأوكسجين دوراً مهماً في السيطرة على نمو الاحياء الهوائية من خلال الدور الكبير الذي يلعبه في النشاط المائي (a_w) الضوري لنشاط هذه الاحياء المجهرية . أما تأثير العوامل المضادة للاحيا المجهرية فيكون من خلال فعالية هذه العوامل في تثبيط نمو هذه الاحياء أو منعه ، أشارت الأبحاث الى ان الاليسوزايم يعد عاماً مضاداً قوياً لنمو البكتيريا الموجبة لصبغة كرام ، ولكن ليس له أية فعالية تحاليلية مباشرة للبكتيريا السالبة لصبغة كرام ، وقد ذكر (1997 Ibrahim) من ان الحساسية المختلفة لـهاتين المجموعتين من البكتيريا يرجع سببها إلى اختلاف تركيب وبناء الجدران الخلوية لهم، إذ ان الجدار الخلوي للبكتيريا السالبة لصبغة كرام يتكون من طبقة الـبـيـتـيـدـوـكـلـاـيـكـانـ التي تمثل 30-95% من الوزن الجاف للجدار والى الخارج منها توجد طبقتان الأولى طبقة البروتينات الدهنية (Lipoproteins) والثانية طبقة من السكريات المتحدة مع الدهون(Lipopolysaccharides) والتي تقع ضمن الغشاء الخارجي (outer membrane) لجدار البكتيريا وبالتالي فإن الاليسوزايم لا يستطيع تحط هذه الظروف الوصول إلى موقع التأثير في طبقة الـبـيـتـيـدـوـكـلـاـيـكـانـ إذ تؤدي الطبقات الدهنية والبروتينية الموجودة ضمن الغلاف الخارجي للبكتيريا السالبة لصبغة كرام دور الحماية لهذه البكتيريا ضد تأثير الاليسوزايم (Jalilzadeh 2015) واخرون، 2015). أما البكتيريا المحللة للدهون والبروتينات وبضمها بكتيريا البادى ، فلم تتأثر بالفعالية التثبيطية، قد يعود السبب إلى دور الغلاف الحاوي على الدارسين المضاد للاحيا المجهرية (Vicini Quintavalla 2002) مما يجعله غير قادر على الهجرة إلى داخل قالب الجبن ويبقى دوره محصوراً على الاحياء المتواجدة على سطح قالب الجبن. فيما يخص بكتيريا العنقوديات الذهبية *Staphylococcus aureus* فقد لوحظ انخفاض معدل الزيادة في الاعداد الميكروبية لهذه الاحياء في المعاملة T3 بالمقارنة مع المعاملات التي لم تستخدم فيها العوامل المضادة للاحيا المجهرية، وقد يعود انخفاض معدل اعداد هذه البكتيريا إلى الظروف البيئية الجديدة التي تكونت بفعل عملية التغليف بحد ذاتها وذلك من خلال حجزها للغازات وبالاخص الأوكسجين ذو التأثير الكبير في عملية التنفس من جهة وفي النشاط المائي المناسب لهذه الاحياء من جهة أخرى، أو قد يعود سبب التثبيط إلى دور بكتيريا البادى المنتجة لأنواع من البكتريوسينات القادرة على التأثير في نمو ونشاط بكتيريا *S. aureus* Chen (2003) و Hoover (2003) أو قد تشتراك كل هذه الأسباب المذكورة في إيقاف أو تثبيط نمو البكتيريا العنقودية .

أما الأعفان فلم يلاحظ أي نمو لها خلال مراحل الانضاج في معاملة T3 (جدول 2) مما يشير إلى ان استخدام العوامل المضادة للحياء المجهرية مع تلك الغلاف ساهم في الحد من نمو الأعفان مقارنة بالمعاملات التي لم تستخدم معها تلك العوامل حيث ان وجود المركبات الفعالة في المستخلص النباتي الدارسين في هذه الغلاف المايكروني المصنوع أدى دوراً مهماً لذاك يستخدم بشكل واسع في حفظ الأغذية وخاصة في صناعة الأجبان لكونه ذي قدرة على تثبيط او تحطيم كل من الهايفات والسبورات للأعفان (Milena و Danila، 2010).

كما اظهر الجدول نفسه ان الاحياء المجهرية المحبة للبرودة ارتفعت اعدادها في الجبن المغلف بالشمع و في الجبن المغلف بالغلاف الجيلاتيني، في حين لوحظ أن أعداد هذه البكتيريا انخفضت في الجبن المغلف بالالجينات والدارسين، ان انخفاض الاعداد الكلية للاحياء المجهرية المحبة في البرودة في الأجبان المغلفة بالعوامل المضادة لنمو الاحياء المجهرية له علاقة بالفعل التضادي البكتيري والذي يسمح بتحلل البيبتيديوكلايكان مسببة تحلل جدار الخلية و خواص تحمل غاز O_2 للجبن المغلف مما سبب خفض معدل انتقال O_2 وتصنيعه مما قلل نمو الفطريات (Cerqueira و آخرون، 2010) وكانت هذه النتائج تتفق مع ما وجدته Mediros وآخرون (2013).

تشير النتائج جدول 2 إلى أن أعداد الاحياء المجهرية بين نماذج جبن التشدر المغلف بالغلاف المايكروني كانت ضمن الحدود المسموح بها في هذا النوع من الأجبان مما يشير إلى إمكانية استخدام هذه الغلاف في صناعة جبن مقبول من الناحية التغذوية والصحية.

جدول (2) نتائج الفحوص المايكروبية و.م/غم في معاملات جبن التشدر المنضج المغلف بالغلاف
المايكروني للدارسين أثناء مدة الانضاج البالغة 6 أشهر وبدرجة 10°C ± 2°C في بداية ونهاية الانضاج *

المعاملة	Total Count	<i>E. coli</i>	Molds	<i>Staphylococcus aureus</i>	Lipolytic	Protolytic	Psychrophilic
T1	$10^4 \times 6.3$	Nill	Nill	$10^1 \times 3.84$	$10^2 \times 0.4$	$10^2 \times 1.2$	$10^1 \times 6.8$
	$10^5 \times 4.8$	$\times 5.70$ 10^1	Nill	$10^2 \times 5.0$	$10^2 \times 1.0$	$10^2 \times 3.0$	$10^1 \times 7.7$
	$10^7 \times 3.2$	$\times 1.21$ 10^2	$\times 3.0$ 10^2	$10^2 \times 7.0$	$10^2 \times 2.0$	$10^3 \times 1.2$	$10^2 \times 1.3$
T2	$10^3 \times 4.1$	Nill	Nill	$10^2 \times 2.0$	$10^2 \times 4.6$	$10^2 \times 5.0$	$10^1 \times 6.6$
	$10^5 \times 5.12$	$\times 4.4$ 10^1	Nill	$10^2 \times 2.43$	$10^2 \times 7.5$	$10^2 \times 8.1$	$10^1 \times 7.5$
	$10^6 \times 5.41$	$\times 9.92$ 10^1	$\times 2.0$ 10^2	$10^2 \times 3.44$	$10^3 \times 1.4$	$10^3 \times 1.5$	$10^2 \times 1.3$
T3	$10^5 \times 4.57$	Nill	Nill	$10^2 \times 2.21$	$10^2 \times 4.5$	$10^2 \times 9.7$	$10^1 \times 6.5$
	$10^5 \times 6.57$	Nill	Nill	$10^2 \times 2.19$	$10^2 \times 4.2$	$10^2 \times 7.6$	$10^1 \times 6.30$
	$10^3 \times 8.30$	Nill	Nill	$10^2 \times 1.34$	$10^2 \times 3.4$	$10^2 \times 4.6$	$10^1 \times 5.5$
LSD	$10^3 \times 7.62$	Nill	Nill	$10^2 \times 1.13$	$10^2 \times 3.9$	$10^2 \times 4.1$	$10^1 \times 5.5$
	* 87.31	22.64*	36.91*	* 18.57	* 3.77	* 19.61	* 12.63
	(P<0.05) *						

*الارقام في الجدول تمثل معدلاً لمكررين

المصادر

الجنابي، ليلى احمد فتاح. 2008. تحضير اغشية قابلة للأكل من الجيلاتين وهريس التفاح واستعمالها في تغليف بعض المواد الغذائية. رسالة ماجستير - كلية الزراعة - جامعة بغداد .

الجهاز المركزي للتقييس والسيطرة النوعية. 2000. المواصفة القياسية العراقية رقم (5/3725) (UDC:663). الجزء الخامس: الحدود المايكروبية للحليب ومنتجاته. بغداد . العراق .
الدهان، عامر حميد. 1983. صناعة الجبن وانواعه في العالم. مطبعة دار الحكمة. الموصل. العراق .

- Alhamd, A.K. 2015. Improvement extraction of crude compounds from Iraqi olive leaves by applying water-base and alcoholic – base extraction and their biological application. World Journal of Pharmacy and Pharmaceutical Science, Volume 4, Issue 1.183- 200.
- American Public Health Association (APHA). 1978. Standard Methods for the Examination of Dairy Products. 14th ed. Marth. E.H. (ed). American Public Health Association. Washington. D.C. and applications. J Food Sci 70:1– 10.
- Anker, M.; M., Standing and A ., Hermansson. 2000. Relationship between the microstructure and the mechanical and barrier properties of whey proteins. J. Agir .Food Chem. 48:3806-3816.
- ASTM, E-96. 2010. Standard test method for Water Vapour Transmission of materials .Volum:08 .01.
- Bajelan, E.; A., Haeri; A.M.. Vali,; S.N., Ostad and S., Dadshzadeh. 2012. Co-delivery of doxorubicin and PCS833 (Valspodar) by stealth micrliposomes for efficient overcoming of multidrug resistance .Journal of Pharmacy & Pharmaceutical Sciences. 15(4): 568-582.
- Baron, E.J. and S.E ., Finegold . 1994. Diagnostic Microbiology 9th ed . The C.V. Mosby Company. USA.
- BBL. 1973. Manual of products and laboratory procedures.5th ed. Division of Becton , Dickinson and company.
- Bertuzzi, M.A. and A.M., Salvutsky. 2017. Improvement of water barrier properties of starch films by lipid micrlamination . Food Packaging and Shelf Life. Volume 7.
- Carneiro-da-Cunha, M. G.; M. A., Cerqueira, B. W. S., Souza; S., Carvalho; M. A. C., Quintas; J. A., Teixeira and A. A., Vicente. 2010. Physical and thermal properties of a chitosan/alginate micrlayered PET film. Carbohydrate Polymers, 82, 153–159.
- Cerqueira, M.A.; M.J., Sousa-Gallagher; I., Macedo; R., Rodriguez-Aguilera; B.W.S., Souza and J.A., Teixeira. 2010. Use of galactomannan edible coating applicatuion and storage temperature for prolonging shelf –life of "Regional" cheese.Journal of Food Engineering. 97: 87-94.
- Chen, H. and D.G., Hoover. 2003. Bacteriocins and their food applications CRFSFS 2: 82- 100.
- Danila, D. and S., Milena. 2010. Antimicrobial agentsof microbial origin: Nisin. Dep.of Food Science, Faculty of Agricultral Science.University of Foggia, Italy.
- Fu, J, Ji,J.; W.,Yana, and J., Shen .2005. Construction of anti-adhesive and antibacterial multilayer films via layer by layer assembly of heparin and chitosan .Biomaterials . 26: 6684-6692.

- Hammer , A.; H., Detlev; H., Carsten ; K., Rolf ; L., Elke; M., Richard and G.B., Hans . 2003. Solar energy assessment using remote sensing technologies. *Remote sensing of Enviornment*. 86: 423-432.
- Harborne,J.B. 1973. Phytochemical methods.Champman and Hall, London, Champan and Hall, Ltd .pp.49-188.
- Harrigan ,W.F., and M.E., McCance . 1976. Laboratory method in food and dairy microbiology.Acadmic press INC.New York.U.S.A.
- Hui Li 1 , Rongqi Cui 1 , Lincai Peng 2 , Shengbao Cai 1 , Pan Li 1 and Tianqing Lan 1. 2017. Preparation of Antibacterial Cellulose Paper Using Layer-by-Layer Assembly for Cooked Beef Preservation at Ambient Temperature. *Polymers — Open Access Journal of Polymer Science*.
- Ibrahim, H.R. 1997. Insights into the structure –function relationship of ovalbumine, ovotransferrin and lysozyme .In: hen eggs their basic and applied science (Ed.by Yamamoto, T.,Juneja, L.R., Hatta,H.and Kim,M., CRC Press Inc.,Boca Raton. 37-56.
- Jalilzadeh, A.; Y., Tunceturk and J ., Hesari. 2015. Extension Shelf Life of Cheese: A Review. *International Journal of Dairy Science*. 10: 44-60.
- Medeiros, B. G. d. S. ; A.C., Pinheiro; J.A., Teixeria; A.A., Vicente and M.G., Carneiro-da-Cunha. 2012. Polysacchrider /protein micrmultilayer coatings: construction , characterization and evalution of their effect on "Rocha" pear (*Pyrus communis* L.) shelf –life .*Food and Bioprocess Technology*. 5: 2435-2445.
- Medeiros ,B. G. de S. ; M. P. , Souza; A. C. , Pinheiro; A.I. , Bourbon ; M. A. , Cerqueira; A. A., Vicente and M. G., Carneiro-da-Cunha. 2013. Physical Characterisation of an Alginate/Lysozyme Micr-Laminate Coating and Its Evaluation on 'Coalho' Cheese Shelf Life Food and bioprocess technology. 7(4) 1088-1098.
- Quintavalla, S. L., and Vicini . 2002. "Antimicrobial food packaging in meat industry", *Meat Science*. 61: 373.
- SAS. 2012. Statistical Analysis System, User's Guide. Statistical. Version 9.1th ed. SAS. Inst. Inc. Cary. N.C. USA.
- Shan, B.; Y.Z., Cai ; J.D. , Brooks and H., Corke . 2007. Antibacterial properties and major bioactive components of Cinnamon stick (*cinnamomum burmannii*) : activity against foodborne pathogenic bacteria .*J.Agric.Food Chem.*, 55:5484-5490. Sinkowska, A. 2006. Effect of solar radiation on collagen and chitosan films.*Journal of Photochemstry and photobiology B: Biology*. 8: 9-15.
- Wasikiewicz, J.M.; F., Yoshii ; N., Nagassawa ; R.A., Wach and H., Mitomo . 2005. Degragation of Chitosan and Alginate by gamma radiation ,

sonochemical and ultraviolet methods . Raduation Physics and Chemistry.
73. 287-295

Wu, T. and R., Farnood . 2014. Cellulose fibre networks reinforced with carboxymethyl cellulose/chitosan complex layer-by-layer. Carbohydr. Polym. 114: 500–505.